

# 摩 擦 系 数

И. В. 克拉蓋里斯基

И. Э. 維諾格拉陀娃

科学出版社

# 摩 擦 系 数

克拉蓋斯基  
維諾格拉陀娃  
熊 大 達 著  
譯

2k 565/15



И. В. КРАТЕНСКИЙ и И. Э. ВИНОГРАДОВА  
КОЭФФИЦИЕНТЫ ТРЕНИЯ

Март 1955

内 容 提 要

本書包含固体的外摩擦系数的实验数据，主要是在於摩擦条件下及某些边界摩擦情况下得出来的。書中對於各种材料摩擦时所發生的現象也進行了理論分析。

第一章闡明影响外摩擦系数的各种因素。第二、三兩章比較詳細地敘述了各种金属加工(金属切削及压力加工)时以及摩擦组件(制动器及离合器等)中的摩擦系数。第四章介紹車輪滑支承表面的滚动摩擦系数。第五章是几种特定机器零件的摩擦系数。最后一章介紹几种非金属抗摩材料的摩擦系数。

所有这些摩擦系数的实验数据都整理成为适当的表格，供具体摩擦组件在其工作条件下採用。

摩 擦 系 数

克拉盖里斯基 著

維諾格拉陀娃

熊 大 達譯

\*

科学出版社出版(北京师范大学大街117号)  
北京市图书出版业营业登记证字第061号

北京新华印刷厂印刷 新华书店总經售

\*

1957年9月第 一 版  
1957年9月第一次印刷  
(印)0001—1,580

書名:10579 印张:7 1/8

开本:850×1168 1/32

字数:176,000

定价: (10) 1.39 元

## 目 次

緒 言	1
第一章 影响摩擦系数的因素	4
1 摩擦系数及一些基本定义	4
2 接触面积、粗糙度及载荷	6
3 加载载荷的速度	20
4 物体静止接触的延续时间	25
5 滑动强度与温度	27
6 铜水摩擦表面的單元致目的影响	37
7 摩擦时的跳躍	40
8 摩擦表面上的吸	43
9 摩擦表面相互作用及破坏的特性	47
10 施加摩擦条件的选择	53
11 确定摩擦系数的方法	57
第二章 金属切削时摩擦系数的实验数据	60
1 金属切削时的摩擦	60
(a) 切削运动的一般理论与摩擦力	60
(b) 确定摩擦系数的方法	62
(c) 切削加工时的摩擦系数	63
(d) 其他	78
2 金属压力加工时的摩擦	80
(a) 加工过程的情况及摩擦力	80
(b) 确定金属压力加工时摩擦系数的方法	88
(c) 压力加工时的摩擦系数	100
(d) 其他结论	114
第三章 摩擦组件中的摩擦	132
1 制动器及离合器中的摩擦	132

## II 摩擦系数

1) 齿轮及离合器中的摩擦系数	192
2) 确定摩擦系数的方法	197
3) 制动装置中的摩擦系数	210
2 自动销合器中的摩擦系数	194
3 自动联接器的摩擦设备中的摩擦	195
<b>第四章 车辆分支承表面的滚动摩擦系数的实验数据</b>	<b>198</b>
1 轴承及滑块	198
2 轴承的特性	199
3 确定轮胎与道路的啮合系数的方法	174
4 车轴与支承表面的啮合系数	173
5 结论	189
<b>第五章 几种特定机器零件的摩擦系数的实验数据</b>	<b>191</b>
1 汽油机滑阀中的摩擦系数	191
2 螺钉接合及螺钉接合中的摩擦系数	193
3 接合零件中的摩擦系数	193
4) 同扣配合	193
5) 异扣配合	193
4 密封装置中的摩擦系数	196
5 带具沿工件的摩擦系数	198
6 轴支承及仪器中的摩擦系数	199
7 球窝支承中钢对钢的摩擦	202
8 铜金屬的摩擦	203
<b>第六章 非金属材料的摩擦系数</b>	<b>207</b>
1 石墨的摩擦系数	207
2 木質塑膠層板(ПДЛ)的摩擦系数	208
3 塑料的摩擦系数	211
<b>参考文献</b>	<b>213</b>
<b>俄华人名对照表</b>	<b>214</b>
<b>俄华术语对照表</b>	<b>221</b>

## 緒 言

在机器、机构的工程计算中，确定两个相接触的表面之间在压力载荷的作用下所发生的切向力，乃是最重要的事。

零件接触中的切向阻力引起摩擦损失使机器的效率降低。近代技术思想的目标是要减小接触中的摩擦系数，因而提高机器的效率。

在许多场合里，例如在小轴的制动器、摩擦离合器、主动轴中，力求获得最大的切向力。但是在大型离合器及主动轴的组合里，必须使该切向力不超过在压力载荷作用下所产生的接触结合的强度。近代技术思想的目标是要在制动器、摩擦离合器及主动轴中实现最大的切向力。

摩擦系数乃是评定处在压力载荷作用下的两个物体的结合强度的参数。摩擦系数本身就是切向力（或阻力）与压力载荷上切向载荷的比率。

在摩擦科学发展的最初阶段，曾经发表过所有相对滑动物体的摩擦系数不变的假说。根据达·芬奇 (Leonardo da Vinci) 在1506年提出的假说，摩擦系数一般等于0.25。阿佐得 (Antonius) 在1699年确定摩擦系数的值为0.3。彼得堡科学院比尤里·芬格 (Бюри Фингер) 于1730年發表过类似的意見。但到十八世纪末叶，库伦 (Coulomb) 确定了压力对摩擦系数的影响，并且实际上求出了几种材料配合的摩擦系数的不同数值。这就成为推翻把摩擦系数看做不变参数的形而上学观的基础。

俄国学者柯柳里尼柯夫 (Д. Д. Кондюринский)、彼得罗夫 (Д. Д. Петров) 在十九世纪中叶对于有关已知摩擦情况的摩擦系数不变的假说作了最后的打消。苏联学者们在理论上論証了压力、粗

速度、滑动速度、温度等对摩擦系数的关系，他们的研究工作使得在摩擦系数的发展中出现了新的阶段。

因此，在有关一定材料偶件的摩擦系数的参考表格中，若没有指明得出这些系数的各项条件（压力、速度、温度、接触半径等），则这些参考表格就失去意义。同一材料偶件，在这些因素的影响下，可能具有完全不同的摩擦系数。譬如，钢与铜偶件，摩擦系数从 0.1 变化到 1。

各种因素对摩擦系数的影响是很难计算的。这是因为不得不利用一些比较复杂的关系来代替原始的阿兰希定律。另一方面，在确定了这些因素对摩擦系数的影响程度之后，就可以借适当改变所选因素的办法，对控制摩擦过程。

对摩擦系数发生影响的因素至少有下列九项：

- 1) 材料的本性及摩擦表面上是否有膜(润滑油、氧化物、污垢);
- 2) 静止接触的延续时间;
- 3) 施加载荷的速度;
- 4) 摩擦副零件的刚度及弹性;
- 5) 滑动速度;
- 6) 摩擦副零件的温度状态;
- 7) 压力;
- 8) 物体的接触特性，表面尺寸、重叠系数;
- 9) 表面质量及粗糙度。

现在我们还没有关于所有上述因素对各种材料偶件的摩擦系数影响力方面的详尽无遗的实验数据。

我们不能述说在动力学润滑条件下的摩擦系数的数据，因为这类数据是根据轴承的几何参数及力学参数计算的办法来确定的。

读者请注意到，本书实际上就像是由两部分组合而成。一部分是理论分析，阐明各种因素对摩擦的影响；另一部分是摩擦系

数的实验数据，整理成为表格的形式，供具体摩擦部件在其工作条件下应用。在需要查取一定部件的摩擦系数的数值时，务必要考虑到这部件工作时所处的那些条件，而相应地利用本表中列举的数据。

# 第一章 影响外摩擦系数的因素

## 1 摩擦系数及一些基本定义

当受压力载荷作用的两个互相接触的物体在接触面上相对滑动时，它们之间所产生的阻力称为外摩擦。与切向力的方向相反的阻力称为摩擦力。这就是一切与物体的轮廓变化有关的力，但不是与宏观变化，而是与局限在表面层中的微观变化有关的力。

根据位移的大小及其与切向力的关系划分成：(1)动摩擦力，(2)非静摩擦力及(3)全静摩擦力。静摩擦力通常简称为静摩擦力。

**动摩擦力** 动摩擦力相应于很大的、不可逆的相对位移，这相对位移的大小与外施力无关。这时，在等速运动的条件下，外施力与动摩擦力平衡。

**非静摩擦力** 非静摩擦力相应于很小的、局部可逆的相对位移，这相对位移的大小与外施力成正比。相应于非全静摩擦力的位移称初(预)位移，通常不能看出初位移，因为它是用微米来测量的。在发生初位移的情况下，外施力与非静摩擦力平衡，而物体处在静止状态之中。非静摩擦力与切向力有关，並且随着后者的增大而从零变化到某一极大值，这时就称之为静摩擦力。

**全静摩擦力** 全静摩擦力相应于初位移的极限值，这时初位移变成相对位移。

根据运动学的特征可分成三种摩擦。

**滑动摩擦** 在滑动摩擦中，一物体同另一名义表面沿另一物体的表面不断地移动。

**旋转摩擦** 在旋转摩擦中，位于两物体接触面中的点，围绕旋

轉動線上的中心，而兩同心圓，旋轉半徑乃是變相的滑動摩擦。

**滚动摩擦** 在滚动摩擦时，一物体在力矩的作用下沿另一物体移动，力矩向量与接触面重合，而且一个别一个地排列着的单元名义表面依次地发生接触。一种摩擦往往伴随着其他种摩擦同时发生，例如 滚动与滑动同时发生。

根据以擦物体表面状态以及是否有润滑的特征，划分成下列几种摩擦：

a) 純淨摩擦 在沒有吸附膜或化合物的表面上發生純淨摩擦。沒有吸附膜或化合物的表面特別是在發生显著塑性变形的时候能被形成，这时脆性的吸玻璃，露出純淨的表面。純淨摩擦伴随着表面的咬緊、啮合結点的形成。

b) 干摩擦 在表面之間沒有润滑油及润滑时發生干摩擦。干摩擦往往又称为不潤滑表面的摩擦（但是不推荐採用这个名称）。

c) 界界摩擦 在边界摩擦时，表面被一层滑油分開，这層滑油極薄（0.1微米及更薄），以致使其具有与滑油的整体性质不同的特殊性质，且与摩擦表面的本性及状态有关。边界膜具有分层結構：滑油分子的活潑端固定在金属上，好像是形成細毛。在足够高的温度（約200°C）时，分子鏈的取向被破坏。这时，某些化學活潑的滑油便与金属發生反應。

d) 液体摩擦 在液体摩擦时，表面完全被液体層分開。

e) 半干摩擦 这是一种混合的摩擦，同时有边界摩擦及干摩擦。

f) 半液体摩擦 这是一种混合的摩擦，同时有液体摩擦及边界摩擦、或液体摩擦及干摩擦。

克服兩物体的接触耦合、使之摆脱静止状态所耗費的最大切向力對於接触物体所受压力載荷的比率  $f_n$ ，称为静摩擦系数。

克服兩物体相对移动的阻力（超出初位移的范围以外）所耗費的切向力對於接触物体所受压力載荷的比率  $f_s$ ，称为滑动摩擦系数。

数。

滑轉所耗費的以及施加於從動物轉軸的力對於接觸物体所受壓力載荷的比率  $\mu$ ，稱為滑轉阻力系數。

牛頓方程式中的比例系數  $k$ ，稱為滾動摩擦系數，其值方程式如下：

$$T = k \frac{P}{r},$$

式中  $T$  —— 滾動摩擦力(對於圓柱体沿平面滾轉的阻力)；

$r$  —— 圓柱体的半徑；

$P$  —— 接触物体所受的压力。

滾動摩擦系數  $k$  只有長度的因次。根據現代的概念，這系數表示出空氣層的半徑。

在無滑動時，車輪與支承表面的接觸面中產生的力對於接觸物体所受压力的比率  $\mu$ ，稱為半動轉的聯合系數。

## 2 接触面積 粗糙度及載荷

由於固體表面的粗糙度及波紋度，使得兩個固體表面總是在個別的點上發生接觸。

物体表面的微小凸部及凹部仍將其堅密的接觸。甚至在施行細拋光后的光滑表面  $L$ ，凸部的高度也常常是不小于  $100 \text{ \AA}$ 。因此，兩個互相接合的表面只在其某些凸部發生接觸，而且這些凸部的直接接觸面積只佔接觸輪廓面積的總表面面積的極小部分。隨着壓力的增大，接觸面積加大。在有波紋度時，這些微觀凸部集中在幾已波紋度的表面凹起上。

每一凸部的面積與表面材料的微觀几何形状及結構構造有关。凸部的寬度从几分之一微米變化到  $30\sim50$  微米(这时凸部的高度小於  $50$  微米)。

當載荷增大時，起初各凸的面積加大，其面積的增大主要是

依接触点数目的增多，

由於这个緣故，做出如下的划分。

(1) 納米(几何)接触面积—— $S_n$ ，这是由接触物体的外部尺寸描绘出来的；

(2) 菲斯接触面积—— $S_f$ ，这是由物体的体积压縮所形成的面积。其实接触面就是处在被压缩而面上；接触接触面积与压力荷载有关；

(3) 密实(物理)接触面积—— $S_m$ ，这是物体接触的其实微小面影的总和；真实接触面积也是压力荷载的函数，並且在名义面积尺寸的 1:100 000 至 1:10 的寬闊范围内变化，依接触表面的机械性能及粗糙度而定。

真实接触的分散性的特征是接触密度。接触密度就是单位接触面积上接触点的数目。

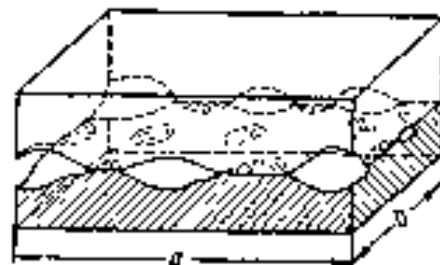
在第一种情况下，接触密度与接触单位压力成正比。

圖 1 所示是具有珠狀或紋度的粗糙表面的輪廓。

根据最簡單的概念，接触具有塑性的本性，並且所有的接触点受到同样的应力，这应力的大小就等於材料的硬度。这样的概念导致一种說法，即运动接触面上的变形具有不可逆的特性。

研究各种材料的接触条件表明，这种概念是不正确的。

已經确定，接触点的总数目及每一个接触点的尺寸随着載荷的增大而增大。然而各个接触点的尺寸只是在不大的載荷范围内增大。当載荷继续增大时，接触面积的增大主要是依靠接触点数目



1.1 具有珠狀或紋度的粗糙表面  
a 为名义面积。  
用虚綫划出来的是接触面积。  
m 表示真实接触面积。

的增多，而各个接触点的尺寸则几乎保持不变（图 21）。这时，各个接触点受到不同的应力。当载荷足够大时，这应力达到极限值，不由接触材料的硬度来决定。

根据实验数据得知，光滑表面的接触点上的压力约为材料硬度的一半，而粗糙表面的接触点上的应力则为材料硬度的两倍。这种现象可以解释如下：对于粗糙表面来说，需要耗費很大的力，使内部变形，才能获得一定的接触面积；至于在光滑表面的場合里，当内部变形

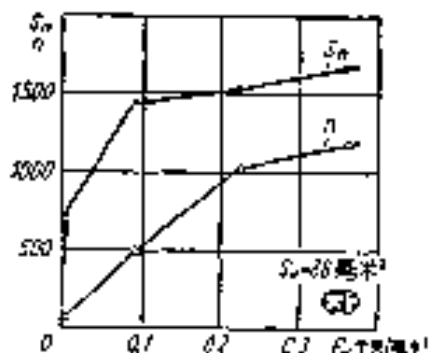


图 21 接触点的数目及每一个接触点的平均尺寸  
(载荷与单位压力的关系  
材料为钢化玻璃)

比较不大的時候，就能获得很大的接触面積。

固体的接触具有彈性  
塑性的特性。当除去載荷  
时，大部分(30~70%)的接  
触点依靠凸部本身的彈性  
而消失。由於表面粗細度  
及被接触的关係，各个凸部  
所受載荷不同：距离对偶表  
面較远的凸部所受載荷較  
小，反之，距离对偶物体較  
而較近的凸部所受載荷較  
大。

圖 3 表示总接触面積  
及平均真实单位压力随載  
荷增大而增大的情形。借

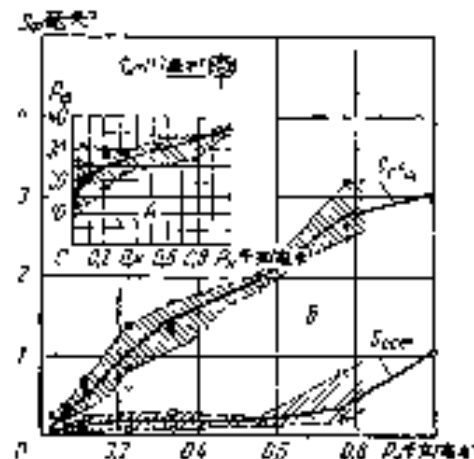


图 3 在接触面上随载荷增加  
而增大的情况(材料为钢化玻璃)  
 $S_{tot}$ —总接触面積； $S_{av}$ —当载荷至 0.031  
(千克/厘米<sup>2</sup>)时的平均接触面積。

施加循环载荷的办法,得出了残余接触面积(塑性接触),*A*—真实单位压力与名义单位压力的关系曲线,*B*—真实接触面积与名义单位压力的关系曲线。

图4表示橡胶与玻璃的真实接触面积,这照片是将破碎在内反衬的方山而获得的,黑暗的部份相等于接触面积。

这些实验的主要结果是确定了一种情况,即接触点所受载荷是各不相同的,因而当表面相对移动时,只有一部分接触点被破坏而其余接触点则发生弹性变形。对于承受载荷的中间点来说,则是在多次作用之后被破坏。

当滑动速度所产生的温度使得表面软化时,则发现真实接触面积增大而且平均真实单位压力相应地减小。

在球形及圆柱形绝对光滑表面接触的组合里,真实接触面积与真实接触面积重合,而且按照特之公式来确定。

#### 在球面上平面接触的组合里

$$S_x = C_1 \nu^{1/3} N^{2/3}, \quad (1)$$

式中

$$C_1 = 2 \sqrt{2} \left( \frac{1 - \mu_1^2}{E_1} + \frac{1 - \mu_2^2}{E_2} \right)^{1/2};$$

$\mu$ —泊松系数;

$E$ —弹性模数。

#### 在圆柱曲与平面接触的组合里

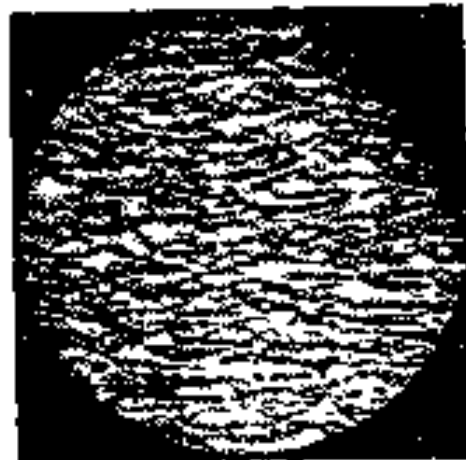


图4 橡胶(剥落)与玻璃在单位压力为  
10(千克/厘米<sup>2</sup>)下的真实接触面积  
根据Brennan(1950)的资料

$$S_0 = C_2 \tau^{1/2} N^{1/2} L, \quad (2)$$

式中

$$C_2 = 1.6 \left( \frac{1 - \mu_1^2}{K_1} + \frac{1 - \mu_2^2}{K_2} \right)^{1/2};$$

$L$ ——圆柱体的长度(厘米);

$\tau$ ——圆柱体的半径。

在两个球面或两个圆柱面接触的場合里, 系数  $C_1$  及  $C_2$  的值相应地改变。

接触压力理論使得可以确定具有任何曲率的物体的接触面积。在这情况下, 接触椭圓的半軸寬度由下列公式表示:

$$a = \alpha \sqrt{\frac{P\delta}{K_1}}, \quad b = \beta \sqrt{\frac{P\delta}{K_1}}, \quad (3)$$

式中

$$\alpha = \frac{4}{\frac{1}{R_1} + \frac{1}{R_2} + \frac{1}{R_1 - R_2}};$$

$$K_1 = \frac{8E_1 E_2}{3E_1(1 - \mu_1^2) + E_2(1 - \mu_2^2)}.$$

系数  $\alpha$  及  $\beta$  依向接触表面的切線所形成的角度定<sup>(12)</sup>。

可以从观察粗糙表面的棒式模型的相互作用条件出发, 来确定粗糙表面接触条件下的真实接触面积。

我們來確定粗糙表面与絕對光滑表面接触时的真实接触面积。

粗糙表面可以模拟成为具有不同高度的一組圓柱形棒的形狀。

我們把这些棒按下降次序排列好, 这些棒的頂点的几何位置就是所謂的支持表面曲線。更精确地說, 這曲線乃是被平行於機坐标軸的直綫截斷的各个凸起的总宽度, 者認為在第三个量度中

所有凸部具有相同的截面轮廓(圆柱形), 则  $b = S_d$ , 这里  $b$ —被研究表面的宽度。若凸部具有球形, 则单个接触面积相应地等于  $\pi r^2$ 。若视为接触点具有相同的半径(对于给定粗糙度来说), 则  $S_d = \pi r^2 n$ 。

在这种情况下, 为了得出真实面积, 除总宽度之外, 必须拥有各别点的半径方面的数据,

$$S_p = \left(\frac{1}{r}\right) r^2 n = kn.$$

在第一种情况下和在第二种情况下一样, 真实接触面积与压相接近程度成正比。

$$\text{令 } S_p = \varphi(x).$$

当  $x=0$ ,  $\varphi(x)=S_0$ ; 当  $x=b$ ,  $\varphi(x)=0$ , 这里  $S_0$ —轮廓投影图的基准面积, 我们称之为粗䊁接触面积, 但  $x$ —梯的高度, 相对于经过最短的梯的零位距离  $a$ , 而言(图 5)。

我们压缩相应部分的梯, 使绝对光滑平面与平面  $CC'$  接近至距离为  $a$ 。在压缩之初只有锁定在  $x$  及  $x+dx$  之间的高度的梯的总值等于  $-\varphi'(x)dx$ , 而梯的压缩为  $(x-a)$ 。因为  $\varphi'(x)$  是距离的下降函数, 所以在  $\varphi'(x)$  前面有一个负号。

令梯上的单位载荷为绝对压缩( $x-a$ )的函数, 即

$$q = k(x-a),$$

式中  $k$ —凸部的压缩压力与绝对变形之间的比例系数, 我们称之为刚度系数。

压力的总值

$$N = - \int_a^b \varphi'(x) k(x-a) dx.$$

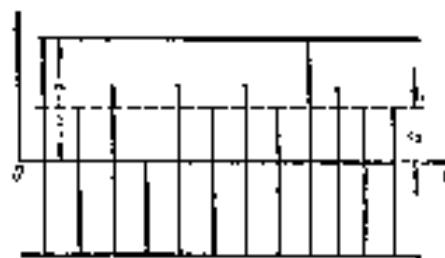


图 5 粗䊁表面的接触面积

这样一来，我们可以得出压缩模型的阻力，作为互相接近程度的函数。

显然，真实接触面积

$$S_p = - \int_{-a}^b p'(x) dx.$$

而比率

$$\frac{S_p}{N} = \frac{\int_a^b \varphi'(x) dx}{k \int_a^b \varphi'(x), z-a dx} \quad (1)$$

對於接觸面的公式(1)来計算摩擦系数是很重要的。

这个比率容易借图解法得出，即把支承表面山稜的横坐标除以限制在已知瓦相接近程度的相应横坐标与被其切断的支承表面上曲线之间的面积。

在許多情况下，支承表面曲線可以表示成直線的形式。

$$\varphi'(x) = \gamma,$$

式中  $\gamma$  —— 支承表面直線的傾角的正切，称为光滑度正切。

在这情況下，式子(4)显著地简化：

$$\frac{S_p}{N} = \frac{2}{(k-\alpha)k},$$

$$k-\alpha = \frac{S_p}{\gamma},$$

由此

$$S_p = \sqrt{\frac{2N\gamma'}{k}}. \quad (5)$$

这就是說，当表面光滑度及载荷增大以及表面剛度減小时，真实接触面积就增大。

剛度系数  $k$  与接触点的半徑有关，並且可以近似地用布辛 (Bucin) 公式表示出来，適用於平物体变形的特殊情况。但在这些平物体上，载荷均匀分佈於半徑为  $r$  的段落上。这时